

図1 双方向分解 (左) と Rotated ALU 分解 (右) のイメージ
Fig. 1 Images of Alternative decomposition (left) and Rotated ALU decomposition (right).

念頭に、式 (4) の双方向分解の $\hat{P}_{j,k} \hat{Q}_{j,k}$ に対して、中央から上下に二分割し、下半分の要素を 180 度回転してベクトル化方向の要素へ組み込むことでベクトル長を倍増させた。本研究では、この解法を Rotated Alternative LU 分解法 (以下、Rotated ALU 分解法と略記) と呼ぶことにする。詳細は以下のとおりである。

図 1 は、 $\hat{P}_{1,1}$ に対する双方向分解 (左) と Rotated ALU 分解 (右) をイメージで表現したものである。図中の実線、点線は左右の図で各々対応しており、矢印は LU 分解の順序を表している。Rotated ALU 分解では、 $\hat{P}_{1,1}$ を上下に分割し☆、下半分要素を図 1 のとおり 180 度回転して $j = 1, j = 2$ とする。 $\hat{Q}_{1,1}$ についても同様である。

行列群 $\hat{P}_{j,k}$ (ここで、 $j = 1 \sim m; k = 1 \sim n$) に対する Rotated ALU 分解では、上半分要素だけを並べて $j = 1 \sim m$ を形成し、下半分要素を 180 度回転して $j = (m + 1) \sim 2m$ を形成し、 j 方向をベクトル化する。これを $k = 1 \sim n$ について行う。行列群 $\hat{Q}_{j,k}$ についても同様である。

プログラム 1 と同様に前進消去の様子を次に示す。

```
do 2 i=1, l+1/2
do 2 k=1, n
do 2 j=1, 2m
  Bij,k = Bij,k - Aij,k × Di-2j,k
  Cij,k = Cij,k - Aij,k × Ei-2j,k - Bij,k × Di-1j,k
  Dij,k = (Cij,k)-1 × (Dij,k - Bij,k × Ei-1j,k)
  Eij,k = (Cij,k)-1 × Eij,k
  bij,k = (Cij,k)-1 × (bij,k - Aij,k × bi-2j,k - Bij,k × bi-1j,k)
2 continue
```

プログラム 2 Rotated ALU 分解法
Program2 Rotated ALU decomposition

☆ プログラミングでは、テクニックとして、 l の偶奇や LU 分解でのデータ参照に応じて二分割後の i にダミー領域を設ける。

表 1 実験モデル

Table 1 Examination models.

m	40	60	80	120	160	240	300	480
n	60	40	30	20	15	10	8	5

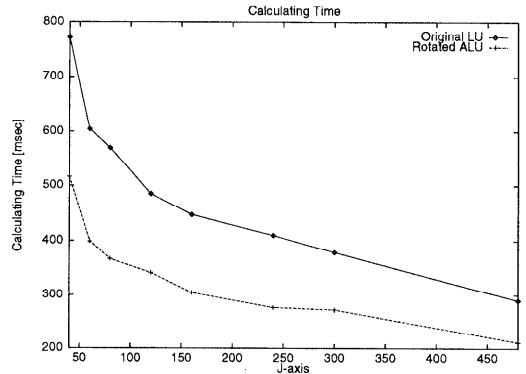


図 2 従来の LU 分解法と Rotated ALU 分解法との計算時間の比較

Fig. 2 Comparison of calculating time between Original LU decomposition and Rotated ALU decomposition.

4. 数値実験

ここでは、従来の LU 分解法と Rotated ALU 分解法とを比較した結果を示す。実験では、流体問題で扱うサイズに基づいた、様々なベクトル長に対する計算時間を測定した。

4.1 実験内容

係数行列 $\hat{F}_{j,k}$ を構成する小行列は、Frank 行列を基に LU 分解できるように作成した。真の解 $x_{j,k}$ は、乱数を用いて作成した。右辺項 $b_{j,k}$ は、 $\hat{F}_{j,k} x_{j,k}$ と式 (1) を用いて作成した。また、様々なベクトル長に対しても、全要素数 ($l \times m \times n$) は一定となるようにした。LU 分解する i 方向の要素数は固定し ($l = 63$)、それ以外の方向は $m \times n = 2400$ (一定) となるように m, n を変化させた (表 1)。本実験では、 j 方向をベクトル化した。

時間計測は、従来の LU 分解と Rotated ALU 分解による計算部分に対して実施した。計算機は、富士通 VPP500 の 1PE を用いた。

4.2 実験結果

計算時間を、図 2 に示す。横軸は、 j 方向の要素数を表し、縦軸は、計算時間 [msec] を表しており、表 1 のサイズにおける計算時間をプロットした。この時間を基に計算時間比をグラフにしたのが、図 3 である。

これらから、従来の LU 分解法に比べて Rotated

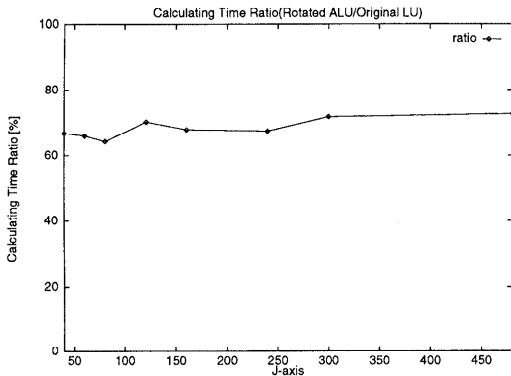


図3 従来のLU分解法とRotated ALU分解法との計算時間比
Fig. 3 Ratio of calculating time between Original LU decomposition and Rotated ALU decomposition.

ALU分解法では、最高30%程度まで計算時間が短縮したことが分かる。

解の精度に関して、単精度で計算を行ったところ、表1のすべてのモデルに対して、両アルゴリズムの誤差のオーダーは式(5)に示すとおりであり、このテスト問題において同等の精度であることが分かった。

$$\frac{\sum |x_{j,k} - \bar{x}_{j,k}|^2}{\sum |x_{j,k}|^2} \sim O(10^{-6}) \quad (5)$$

$x_{j,k}$: 真の解

$\bar{x}_{j,k}$: 数値解

5. ま と め

ブロック5重対角行列群を係数行列とする大規模な複数のシステムに対して、Rotated ALU分解法は、従来のLU分解法に比べると、ベクトル計算機の性能をさらに引き出すアルゴリズムであり、計算精度も保持しているといえる。

流体の問題に限らず他の問題についても、同様の行列群に対してベクトル計算機で解く場合は、Rotated ALU分解法を用いることを提案する。

参 考 文 献

- 1) 標 宣男, 鈴木正昭, 石黒美佐子, 寺坂晴夫: 数値流体力学, 朝倉書店 (1994).
- 2) Pulliam, T.H.: Euler and Thin layer Navier-Stokes Codes: ARC2D, ARC3D, *Notes for computational fluid dynamics user's workshop*, pp.15.1-15.84 (1984).
- 3) Van der Vorst, H.A.: Analysis of a parallel solution method for tridiagonal linear systems, *Parallel Computing*, Vol.5, pp.303-311 (1987).
- 4) Van der Vorst, H.A.: Large tridiagonal and block tridiagonal linear systems on vector and

parallel computers, *Parallel Computing*, Vol.5, pp.45-54 (1987).

- 5) Dongarra, J.J., Duff, I.S., Sorensen, D.C. and Van der Vorst, H.A.: *Solving Linear Systems on Vector and Shared Memory Computers*, SIAM (1991). 小国 力 (訳): コンピュータによる連立一次方程式の解法—ベクトル計算機と並列計算機, 丸善 (1993).

(平成9年5月22日受付)

(平成9年9月10日採録)



伊藤 祥司 (学生会員)

1966年生。1990年3月筑波大学第1学群自然科学類卒業。同年4月富士通(株)入社。HPC分野の業務に従事。1996年4月筑波大学大学院理工学研究科入学。現在に至る。大規模行列計算に対するハイパフォーマンスコンピューティングに興味を持つ。日本応用数学会会員。



張 紹良

1962年生。1983年7月中国吉林大学数学系卒業。1990年3月筑波大学大学院工学研究科博士課程修了, 工学博士。(株)計算流体研究所研究員, 名古屋大学工学部助手を経て, 1995年11月筑波大学電子・情報工学系講師。現在に至る。大規模行列計算における反復解法の開発および並列計算のアルゴリズムの研究に従事。日本応用数学会会員。



名取 亮 (正会員)

1941年生。1969年東京大学大学院工学系研究科博士課程修了, 工学博士。同年東京大学大型計算機センター助手。1974年電気通信大学電気通信学部助教授。1980年筑波大学電子・情報工学系助教授。1987年同教授。現在に至る。専攻分野, 数値解析, 応用数学。日本応用数学会, 日本数学会, 日本物理学会各会員。